

A. B. Филиппов

**СМЕШАННАЯ ЗАРЯДКА АЭРОЗОЛЬНЫХ ЧАСТИЦ.  
АСИМПТОТИКА И ИНТЕРПОЛЯЦИОННЫЕ ФОРМУЛЫ  
ДЛЯ ТОКА ЭЛЕКТРИЗАЦИИ**

В электрогидродинамических течениях слабоионизованных аэрозолей может происходить электризация частиц за счет присоединения зарядов ионов [1]. При малой концентрации дисперсной фазы для описания этого процесса можно ограничиться исследованием зарядки одной частицы. Настоящая работа посвящена изучению смешанной зарядки, когда диффузия существенно влияет на движение ионов в электрическом поле, создаваемом внешними источниками в окрестности частицы. При исследовании смешанной зарядки движением газа относительно частицы, как правило, можно пре-небречь. В предельных случаях, когда не учитывались ни диффузия ионов, ни внешнее электрическое поле, задача об униполярной зарядке сферической частицы в неподвижном слабоионизованном газе решена в [2, 3]. Решение задачи о влиянии слабого внешнего электрического поля на диффузионную зарядку частицы получено в [4]. В настоящей работе рассматривается противоположный случай сильного внешнего электрического поля. Методом сращиваемых асимптотических разложений [5] найдены распределения ионов в окрестности частицы и выражение для тока электризации, уточняющие известное решение [2]. Полученные результаты используются далее при построении приближенной интерполяционной формулы для глобального тока электризации. Отмечается, что обычно применяемое суммирование предельных выражений [2, 3] для вычисления тока электризации при смешанной зарядке приводит к грубым ошибкам. Сравнение с результатами численного решения задачи на ЭВМ показывает, что построенная интерполяционная формула обеспечивает хорошую аппроксимацию при произвольных значениях электрического числа Пекле  $Re_E$ .

1. В дисперсных средах, состоящих из слабоионизованного газа и диспергированных частиц, последние могут заряжаться, захватывая заряд у ионов. В случае достаточно малой концентрации частиц для изучения этого явления рассмотрим электризацию одной идеально проводящей сферической частицы в униполярно заряженном газе. Без потери общности результатов заряд ионов будем считать положительным. Пусть концентрация ионов и радиус частицы  $a$  достаточно малы и внешнее электрическое поле можно считать однородным на расстояниях  $\sim a$ .

Влияние диффузии на направленное движение ионов в электрическом поле характеризуется  $Re_E = abE_0/D$ , где  $E_0 = |\mathbf{E}_0|$ ,  $\mathbf{E}_0$  — напряженность внешнего электрического поля,  $b$  и  $D$  — коэффициенты подвижности и диффузии ионов, связанные соотношением Эйнштейна  $b = eD/(kT)$ ,  $e$  — заряд протона,  $k$  — постоянная Больцмана,  $T$  — абсолютная температура. Если  $Re_E \sim 1$ , имеет место смешанная зарядка частицы, при расчете которой необходимо одновременно учитывать диффузию ионов и внешнее электрическое поле. При этом во многих важных случаях оказывается малым электрическое число Рейнольдса  $Re_E = u/(bE_0)$  ( $u$  — относительная скорость частицы) и движением газа можно пренебречь. Далее газ считается неподвижным относительно частицы.

Пусть  $K$  — константа скорости реакции передачи заряда ионов поверхности частицы. В рамках сделанных предположений плотность объемного заряда  $q$  в окрестности частицы определим, решив краевую задачу:

$$(1.1) \quad \begin{aligned} \operatorname{div} \mathbf{j} &= 0, \quad \mathbf{j} = -D\mathbf{V}q + qb\mathbf{E}, \quad \mathbf{E} = -\nabla\varphi, \\ r = a: j_n &= -Kq, \quad r \rightarrow \infty: q \rightarrow q_0, \\ \varphi &= -E_0 r \cos \theta \left( 1 - \frac{a^3}{r^3} \right) + e_p \left( \frac{1}{r} - \frac{1}{a} \right). \end{aligned}$$

Здесь  $r$  — расстояние до центра частицы;  $\theta$  — угол между вектором  $\mathbf{E}_0$  и радиусом-вектором точки;  $\mathbf{j}$  — плотность электрического тока;  $q_0$  — невозмущенное значение  $q$ ;  $\varphi$  — потенциал электрического поля. Индексом  $n$  обозначаются проекции векторов на внешнюю нормаль к поверхности частицы  $S$ . Глобальный ток электризации может быть найден толь-

ко после решения задачи (1.1) интегрированием  $I = - \int_S j_n ds$  и зависит от  $q_0$ ,  $E_0$  и заряда частицы  $e_p$ .

2. Краевая задача (1.1) имеет аналитическое решение в предельных случаях  $\text{Pe}_E = 0$  [6] и  $\text{Pe}_E = \infty$  [2]. С целью получения приближенной формулы для функции  $I(E_0, e_p, q_0)$  при умеренных  $\text{Pe}_E$  исследуем вначале асимптотику решения задачи (1.1) при  $\text{Pe}_E \rightarrow \infty$ .

Заметим, что в пределе  $\text{Pe}_E = \infty$  из (1.1) вытекает  $E \nabla q = 0$ , откуда следует, что плотность объемного заряда постоянна вдоль силовых линий напряженности электрического поля. При  $e_p^0 = e_p/(3a^2 E_0) \leq -1$  всюду вне частицы  $q = q_0$ , при  $e_p^0 \sim -1$  пространство вне частицы разбивается на две области: область с нулевым значением объемного заряда, заполненную силовыми линиями, уходящими с частицы, и область, где  $q = q_0$ . Положение границы между областями определяется величиной безразмерного заряда частицы  $e_p^0$ . Вдоль этой границы и вдоль части поверхности  $S$ , где  $E_n < 0$ , в случае конечных, но больших  $\text{Pe}_E$  образуется диффузионный пограничный слой, так что ионы в окрестности частицы распределены довольно сложным образом. В связи с этим введем новую зависимую переменную

$$w = (1 - q^*) \exp(\text{Pe}_E \varphi^*/2), \quad \varphi^* = \varphi/aE_0, \quad q^* = q/q_0.$$

Задача (1.1) преобразуется к виду

$$(2.1) \quad \begin{aligned} \text{Pe}_E^{-2} \left[ \frac{1}{r^*} \frac{\partial^2 r^* w}{\partial r^{*2}} + \frac{1}{r^{*2} \sin \theta} \frac{\partial}{\partial \theta} \left( \sin \theta \frac{\partial w}{\partial \theta} \right) \right] - \frac{1}{4} E^{*2} w = 0, \\ r^* = 1: \frac{\partial w}{\partial r^*} = -\frac{i}{2} w \text{Pe}_E E_n^* + (w - 1)(E_n^* + K^*) \text{Pe}_E, \quad r^* \rightarrow \infty: w \rightarrow 0, \\ E^{*2} = \left[ \frac{3e_p^0}{r^{*2}} + \cos \theta \left( 1 + \frac{2}{r^{*3}} \right) \right]^2 + \sin^2 \theta \left( 1 - \frac{1}{r^{*3}} \right)^2, \\ r^* = r/a, \quad E^* = E/E_0, \quad K^* = K/bE_0. \end{aligned}$$

В пределе  $\text{Pe}_E = \infty$  из (2.1) следует, что  $w = 0$  всюду вне частицы; при конечных больших значениях числа Пекле и при любом значении  $e_p^0$  существенное изменение  $w$  происходит только в слое, прилегающем к поверхности частицы, что значительно упрощает исследование.

Наличие малого параметра  $\text{Pe}_E^{-2}$  в задаче позволяет построить ее приближенное решение и, используя связь переменных  $q^*$  и  $w$ , найти распределение объемного заряда в окрестности частицы. Токи электризации выражаются непосредственно через значения функции  $w$  и ее производной на поверхности частицы:

$$\begin{aligned} r^* = 1: j^0 = -\frac{1}{\text{Pe}_E} \frac{\partial w}{\partial r^*} + E_n^* \left( \frac{w}{2} + 1 \right), \\ I^0 = \frac{1}{6} \int_0^\pi j^0 \sin \theta d\theta, \quad I^0 = \frac{I}{12\pi a^2 q_0 b E_0}, \quad j^0 = \frac{-j_n}{q_0 b E_0}. \end{aligned}$$

Учитывая симметрию задачи, рассмотрим поведение решения в полу-плоскости, проходящей через ось симметрии и ограниченной этой осью. Сравнительный анализ величин отдельных слагаемых в (2.1) при  $\text{Pe}_E \gg 1$  с учетом явного вида функции  $E^2$  показывает, что можно выделить несколько областей с различной структурой асимптотических решений. В каждой из них из (2.1) получаются уравнения более простого вида для главных членов разложения решения по малому параметру.

Во внешней области решение задачи  $w = 0$  находится из дифференциального уравнения (2.1) при пренебрежении слагаемыми с множителем  $\text{Pe}_E^{-2}$ .

В пограничном слое с исключенной областью критической точки векторного поля  $E$ :  $0 \leq r^* - 1 \leq O(\text{Pe}_E^{-1})$ ,

$$\begin{aligned} |e_p^0| - 1 &\leq O(\text{Pe}_E^{-2/3}): \sin \theta \geq O(\text{Pe}_E^{-1/3}), \\ |e_p^0| &\leq 1 - O(\text{Pe}_E^{-2/3}): |\theta - \arccos(-e_p^0)| \geq O(\text{Pe}_E^{-1/2}), \\ |e_p^0| &\geq 1 + O(\text{Pe}_E^{-2/3}): 0 \leq \theta \leq \pi \end{aligned}$$

исследование решения проводим в переменных

$$y = \varepsilon^{-1}(r^* - 1), \quad x = \cos \theta, \quad \varepsilon = 2/3 \text{Pe}_E.$$

Коэффициент в зависимости  $\varepsilon$  от числа Пекле введен с целью получения уравнений наиболее простого вида.

Раскладывая функции  $E^{*2}$  и  $r^{*-1}$  по степеням  $\varepsilon$  и подставляя в (2.1), для коэффициентов ряда  $w = \sum_{n=0}^{\infty} w_n \varepsilon^n$  имеем цепочку уравнений и граничных условий:

$$\begin{aligned} (2.2) \quad & \partial^2 w_0 / \partial y^2 = \zeta^2 w_0, \quad \zeta \equiv e_p^0 + x = E_n^*/3, \\ & \partial^2 w_1 / \partial y^2 = \zeta^2 w_1 + 2A_0(|\zeta| - 2\zeta^2) \exp(-|\zeta|y) \dots, \\ & \zeta > 0: A_0 = 1, \quad \zeta < 0: A_0 = 1 + 3\zeta/K^*, \\ & y = 0: \frac{\partial w_0}{\partial y} = \zeta(w_0 - 2) + \frac{2}{3}K^*(w_0 - 1), \quad \frac{\partial w_m}{\partial y} = \left(\zeta + \frac{2}{3}K^*\right)w_m, \\ & m \geq 1, \quad y \rightarrow \infty: w_p \rightarrow 0, \quad p \geq 0. \end{aligned}$$

Условия при  $y \rightarrow \infty$  должны выполняться для срацивания с решением во внешней области. Решая (2.2), определим главные члены разложения функции  $w$  и локального тока электризации  $j^0$  по малому параметру, а переходя к переменной  $q^*$ , получим выражения для распределения объемного заряда в рассматриваемой области:

$$\begin{aligned} (2.3) \quad & w_0 = \exp(-|\zeta|y)A_0, \quad w_1 = \zeta y^2 w_0, \quad \zeta > 0: \\ & q^* = O(\varepsilon^3), \quad j^0 = O(\varepsilon^3), \\ & \zeta < 0: q^* = (2ey\zeta - 1)(1 + 3\zeta/K^*) \exp(2\zeta y) + 1 + O(\varepsilon^2), \\ & j^0 = -3\zeta - \frac{9}{4K^*} \left[ 1 + \frac{1}{\zeta^2} (1 - e_p^{02}) \right] \varepsilon^2 + O(\varepsilon^3). \end{aligned}$$

Плотность объемного заряда в пограничном слое при  $E_n < 0$  и умеренных значениях  $y$  имеет порядок  $q_0|E_n^*|/K^*$ , во внешней области  $q \leq q_0$ . При постановке задачи (1.1) предполагалось, что собственным электрическим полем ионов при произвольном значении  $e_p^0$  можно пренебречь. Для этого, как следует из оценки порядков слагаемых в уравнении Максвелла  $\text{div } \mathbf{E} = 4\pi q$ , необходимо одновременное выполнение соотношений  $4\pi q_0 a/E_0 \ll 1$ ,  $4\pi q_0 a/E_0 \ll K^* \text{Pe}_E$ . Далее, считается, что для константы скорости реакции выполнено условие  $K^* \geq 1$ .

Рассмотрим окрестность особой точки векторного поля в случае

$$|e_p^0| \leq 1 - O(\varepsilon^{2/3}), \quad r^* - 1 \leq O(\varepsilon^{1/2}), \quad |\theta - \arccos(-e_p^0)| \leq O(\varepsilon^{1/2}).$$

Введем растянутые переменные  $X = (e_p^0 + \cos \theta)\varepsilon^{-1/2}$ ,  $Y = (r^* - 1)\varepsilon^{-1/2}$ . Подставляя в (2.1) разложения функций по малому параметру  $\varepsilon^{1/2}$ , для нулевого приближения функции  $w$  получаем краевую задачу в верхней полуплоскости переменных  $X$ ,  $Y$ :

$$\begin{aligned} (2.4) \quad & \frac{\partial^2 w_0}{\partial Y^2} + (1 - e_p^{02}) \frac{\partial^2 w_0}{\partial X^2} = [X^2 + (1 - e_p^{02}) Y^2] w_0, \\ & Y = 0: w_0 = 1, \quad j^0 = -\frac{3}{2} \left[ X + \frac{\partial w_0}{\partial Y} \right] \varepsilon^{1/2} + O(\varepsilon), \\ & Y \rightarrow \infty: w_0 \rightarrow 0; \quad Y > 0, \quad X \rightarrow \infty: w_0 \rightarrow 0. \end{aligned}$$

Границные условия на бесконечности представляют собой условия сраци-  
вания с решением  $w = 0$  во внешней области и решением (2.3) в погранич-  
ном слое, имеющим в переменных  $X, Y$  вид  $w_0 = A_0 \exp(-|X|Y)$ . Замена  
переменных  $\eta = XY$ ,  $\xi = [X^2 - (1 - e_p^0)Y^2]/2(1 - e_p^{02})^{1/2}$  переводит (2.4)  
в уравнение Клейна — Гордона  $\Delta w_0 = w_0$  на плоскости  $(\xi, \eta)$ , решение  
которого с учетом граничных условий представляется в виде

$$(2.5) \quad w_0(\xi, \eta) = \frac{1}{2\pi} \int_0^\infty \Psi(\tau) K_0([(\xi - \tau)^2 + \eta^2]^{1/2}) d\tau;$$

$$(2.6) \quad \tau_0 \geq 0: \int_0^\infty \Psi(\tau) K_0(|\tau - \tau_0|) d\tau = 2\pi$$

$(K_0(x) — функция Макдональда).$

Интегральное уравнение Фредгольма 1-го рода (2.6) эффективно ре-  
шается методом Винера — Хопфа [7]. Опуская выкладки, приведем окон-  
чательное решение

$$(2.7) \quad \begin{aligned} \Psi(\tau) &= 2[\exp(-\tau)/(\pi\tau)^{1/2} + \operatorname{erf}\nolimits \tau^{1/2}], \\ j^0 &= \frac{3}{4}|X|\left[\Psi\left(\frac{1}{2}(1 - e_p^{02})^{-1/2}X^2\right) - 2\operatorname{sgn} X\right]\varepsilon^{1/2} + O(\varepsilon). \end{aligned}$$

Выражения (2.5), (2.7) определяют функцию  $w$  и локальный ток иониза-  
ции в окрестности критической точки. Распределение объемного заряда  
находится переходом к переменной  $q^* = 1 - w \exp(-\operatorname{Pe}_E \varphi^*/2)$ .

При выполнении условия  $||e_p^0| - 1| \leq O(\varepsilon^{2/3})$  в окрестности крити-  
ческой точки напряженности электрического поля ( $0 < r^* - 1 \leq O(\varepsilon^{1/3})$ ,  
 $\sin \theta \leq O(\varepsilon^{1/3})$ ) имеет место иная асимптотика решения. Краевую задачу,  
получающуюся в этом случае для нулевого приближения функции  $w$ ,  
запишем в виде

$$(2.8) \quad \begin{aligned} \frac{\partial^2 w_0}{\partial Y_1^2} + \frac{1}{X_1} \frac{\partial}{\partial X_1} \left( X_1 \frac{\partial w_0}{\partial X_1} \right) &= \left[ \left( e_p^0 + \frac{X_1^2}{2} - Y_1^2 \right)^2 + X_1^2 Y_1^2 \right] w_0, \\ X_1 &\geq 0, \quad Y_1 \geq 0, \\ Y_1 \rightarrow \infty: w_0 &\rightarrow 0; \quad Y_1 > 0, \quad X_1 \rightarrow \infty: w_0 \rightarrow 0, \\ Y_1 = 0: w_0 &= 1, \quad j^0 = -\frac{3}{2} \left[ \left( \frac{X_1^2}{2} + e_p^1 \right) \operatorname{sgn} e_p^1 - \frac{1}{2} \frac{\partial w}{\partial Y_1} \right] \varepsilon^{2/3} + O(\varepsilon), \\ X_1 = |\theta - \theta_0| \varepsilon^{-1/3}, \quad Y_1 &= (r^* - 1) \varepsilon^{-1/3}, \quad e_p^1 = (|e_p^0| - 1) \varepsilon^{-2/3}, \\ \theta_0 &= \arccos(-\operatorname{sgn} e_p^0). \end{aligned}$$

Уравнение (2.8) интегрировалось численно для определения токов  
электризации и объемного заряда вблизи критической точки. В качестве  
примера на рис. 1 представлены линии уровня 1—3, соответствующие  
значениям  $q^* = 0,1; 0,5; 0,9$  при  $e_p^0 = -1$ ,  $\theta_0 = \pi$ .

На основании проведенных расчетов из (2.3), (2.7) получены при-  
ближенные аналитические выражения для тока зарядки частицы:

$$(2.9) \quad \begin{aligned} I^0 &= F_\infty/3\operatorname{Pe}_E + \delta I^0, \\ F_\infty &= 3\operatorname{Pe}_E(I_1 + \varepsilon I_2 + \varepsilon^{4/3} I_3), \\ |e_p^0| < 1: I_1 &= \frac{1}{4}(1 - e_p^0)^2, \quad I_2 = \frac{1}{4}(1 - e_p^{02})^{1/2}, \\ |e_p^0| \geq 1: I_1 &= \frac{1}{2}(\operatorname{sgn} e_p^0 - 1)e_p^0, \quad I_2 = 0, \\ I_3 &= [e_p^1/8(\exp 4,16e_p^1 - 1)]^{1/2} - f(e_p^1), \\ e_p^1 \geq 0: f &= 0, \quad e_p^1 < 0: f = (-e_p^1/8)^{1/2}. \end{aligned}$$

Остаточный член  $\delta I^0$  имеет порядок  $O(\varepsilon^3)$  при  $|e_p^0| \geq 1 + O(\varepsilon^{2/3})$ ,  $O(\varepsilon^{3/2})$  при  $|e_p^0| \leq 1 - O(\varepsilon^{2/3})$  и  $O(\varepsilon^{5/3})$  при  $||e_p^0| - 1| \leq O(\varepsilon^{2/3})$ . Выражение для  $I_3$  представляет собой аппроксимацию зависимости, найденной в результате численного решения (2.8).

3. Ограничимся далее случаем  $K^* = \infty$  (абсолютно поглощающая поверхность частицы). Применяя метод сопрягаемых асимптотических разложений [5], Клэйт [4] нашел решение задачи (1.1) при малых  $\text{Pe}_E$  и получил выражение для глобального тока электризации:

$$(3.1) \quad \begin{aligned} I^* &= F_0(\text{Pe}_E, e_p^*) + O(\text{Pe}_E), \\ F_0 &= \Lambda(1 + \Lambda \exp e_p^* \text{Pe}_E / 2, \Lambda(e_p^*) = e_p^* / (\exp e_p^* - 1), \\ e_p^* &= 3 \text{Pe}_E e_p^0, I^* = 3 \text{Pe}_E I^0. \end{aligned}$$

Используя предельные соотношения (2.9), (3.1), можно построить приближенную интерполяционную формулу для расчета тока зарядки  $I^* = I_a^*(\text{Pe}_E, e_p^*)$  в случае  $\text{Pe}_E \sim 1$ :

$$(3.2) \quad \begin{aligned} \text{Pe}_E \leq 2: I_a^* &= F_0(\text{Pe}_E \chi_1, e_p^*), \\ \text{Pe}_E > 2: I_a^* &= F_\infty(\text{Pe}_E \chi_2, e_p^*), \\ \chi_1 &= 1 + 0,157 \text{Pe}_E^{0,745}, \quad \chi_2 = 1 + 0,445 \text{Pe}_E^{-1,43}. \end{aligned}$$

Структура выражения (3.2) обеспечивает выполнение асимптотик (2.9) и (3.1) в предельных случаях  $\text{Pe}_E \rightarrow \infty$  и  $\text{Pe}_E \rightarrow 0$ . Функции  $\chi_{1,2}(\text{Pe}_E)$  подобраны с целью приближения зависимости  $I_a(\text{Pe}_E, e_p^*)$  к зависимости  $I^*(\text{Pe}_E, e_p^*)$ , полученной в результате численного решения краевой задачи (1.1) [8]. При этом обеспечивается хорошая аппроксимация. Относительная ошибка  $\delta_r(\text{Pe}_E, e_p^*) = |I^* - I_a^*|/I^*$  для отрицательных и умеренных положительных значений  $e_p^*$  не превосходит 10 %. С ростом  $e_p^*$   $\delta_r(\text{Pe}_E, e_p^*)$  увеличивается в связи с быстрым убыванием  $I^*$ , однако абсолютная ошибка  $|I^* - I_a^*| = \delta$  уменьшается. На рис. 2 в качестве примера приведены графики зависимости безразмерного тока электризации от заряда частицы, построенные при  $\text{Pe}_E = 1$  по формуле (3.2) и по результатам численного расчета (линии 1 и 2).

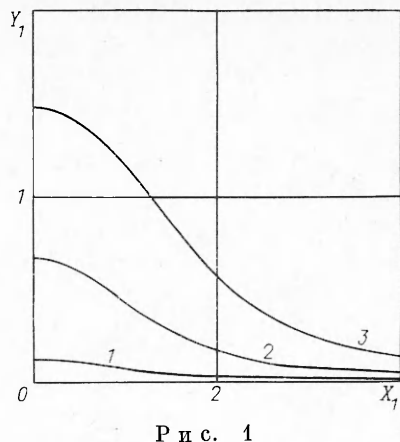


Рис. 1

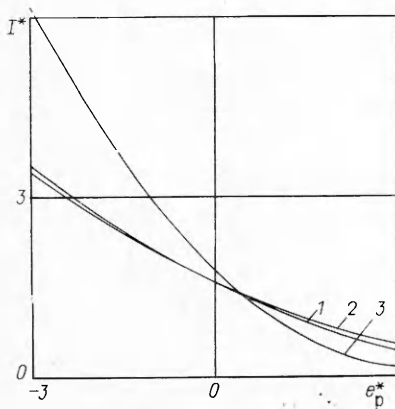


Рис. 2

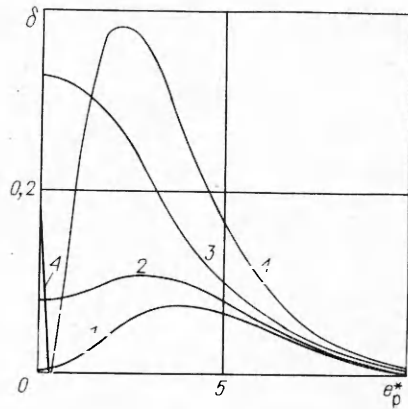


Рис. 3

В связи с отсутствием надежных интерполяционных формул для вычисления тока электризации при смешанной зарядке частиц до последнего времени применялась простая зависимость  $I_s^*(Pe_E, e_p^*) = 3 Pe_E I(Pe_E, e_p^*) + \Lambda(e_p^*)$  (линия 3 на рис. 2), найденная простым сложением главных членов асимптотических разложений (2.9) и (3.1) в предельных случаях  $Pe_E \rightarrow \infty$  и  $Pe_E \rightarrow 0$ . Однако, как легко видеть, главные члены разложений функций  $I_s^*$  и  $I^*$  (2.9) при  $e_p^* < 0$ ,  $Pe_E \rightarrow \infty$  не совпадают. При умеренных же значениях  $Pe_E$  ток зарядки, вычисленный таким образом, может отличаться в 2 и более раза от истинного значения. Кроме того, анализ уравнений (1.4) и зависимости  $I_s^*(Pe_E, e_p^*)$  показывает, что для любых  $Pe_E$  выполняется соотношение  $e_p^* \rightarrow -\infty: I^* = -e_p^* + o(1)$ ,  $I_s^* = -2e_p^* + o(1)$ . В связи с этим наиболее грубые ошибки в расчете электризации частиц можно ожидать при биполярной зарядке дисперсной фазы, когда зарядка каждым сортом ионов описывается при помощи функции  $I_s^*(Pe_E, e_p^*)$  [9]. Формула (3.2) не имеет этих недостатков.

На рис. 3 представлены зависимости абсолютной ошибки, возникающей при использовании формулы (3.2), а также асимптотических выражений (3.1) и (2.9) (линии 1—3), от заряда частицы при  $e_p^* > 0$  и  $Pe_E = 1$ . Сравнение показывает, что (2.9) и (3.1) для приближенных расчетов можно применять и при умеренных числах Пекле, например при  $Pe_E > 2$  и  $Pe_E \leq 2$  соответственно. При этом величина ошибки в расчете тока электризации несколько больше, чем при использовании (3.2), но все же существенно меньше, чем в случае определения тока зависимостью  $I_s^*(Pe_E, e_p^*)$  (линия 4 на рис. 3).

#### ЛИТЕРАТУРА

1. Ватажин А. Б., Грабовский В. И., Лихтер В. А., Шульгин В. И. Электрогазодинамические течения.—М.: Наука, 1983.
2. Pauthenier M., Moreau-Hanot M. La charge des particules sphériques dans un champ ionisé // J. Phys. et Radium.—1932.—N 12.
3. Фукс Н. А. О величине зарядов на частицах атмосферных аэроколлоидов // Изв. АН СССР. Сер. геогр. и геофиз.—1947.—Т. 11.—С. 341.
4. Klett J. D. Ion transport to cloud droplets by diffusion and conduction, and the resulting droplet charge distribution // J. Atmos. Sci.—1971.—V. 28, N 4.
5. Найфе А. Х. Методы возмущений.—М.: Мир, 1976.
6. Седова Г. Л., Черный Л. Т. Уравнения электрогидродинамики слабоионизованных аэрозолей с диффузионной зарядкой частиц дисперсной фазы // Изв. АН СССР. МЖГ.—1986.—№ 1.
7. Нобл Б. Применение метода Винера — Хопфа для решения дифференциальных уравнений в частных производных.—М.: ИЛ, 1962.
8. Филиппов А. В. Исследование процесса зарядки аэрозольных частиц в электрическом поле с учетом диффузии ионов // Изв. АН СССР. МЖГ.—1986.—№ 1.
9. Takahashi T. Thunderstorm electrification — a numerical study // J. Atmos. Sci.—1984.—V. 41, N 7.

Поступила 23/III 1987 г.

г. Москва

в окончательном варианте — 8/VII 1988 г.

УДК 534.222:532.574

H. H. Антонов, И. А. Колмаков, В. В. Самарцев,  
B. A. Шкаликов

#### АКУСТИЧЕСКОЕ ЧЕРЕНКОВСКОЕ ИЗЛУЧЕНИЕ И ЕГО ИСПОЛЬЗОВАНИЕ В ГОЛОГРАФИЧЕСКИХ МЕТОДАХ ПРИ ИССЛЕДОВАНИЯХ ДВИЖУЩИХСЯ СРЕД

Дается интерференционная трактовка акустического черенковского излучения и рассматривается возможность его использования на основе методов голограммы для изучения движущихся сред.

В [1, 2] рассматривалась возможность применения эффекта рассеяния звука для нахождения средней скорости и распределения скоростей продуктов горения по плоскости сечения камеры горения. Сравнительно недавно исследовано новое явление — акустическое излучение, обусловленное движением среды в звуковом поле.